

试剂与应用

新型荧光衍生试剂 2-(2-(1-芘基)-苯并咪唑)-乙基对甲苯磺酸酯的制备及应用研究

孙志伟^{1,3}, 刘钦泽², 付艳艳², 夏莲^{1,2,3}, 赵先恩⁴, 索有瑞¹, 尤进茂^{*1,2}

(1. 中国科学院 西北高原生物研究所, 青海 西宁 810001; 2. 曲阜师范大学 生命有机分析

重点实验室, 山东 曲阜 273165; 3. 中国科学院 研究生院, 北京 100049;

4. 山东省分析测试中心, 山东 济南 250014)

摘要: 合成表征了标题化合物(PBITS)。在DMF溶剂中以K₂CO₃作催化剂, PBITS与脂肪酸在90℃条件下反应40 min, 可获得稳定的荧光产物。以PBITS为柱前衍生试剂, 建立了20种饱和脂肪酸的高效液相色谱分析方法。激发和发射波长分别为350和402 nm, 各脂肪酸检出限为11.4~29.3 fmol, 对瑞香狼毒根中游离脂肪酸测定结果满意。

关键词: 高效液相色谱-质谱; 荧光检测; 柱前衍生; 脂肪酸

中图分类号: O626.0657.7 文献标识码: A 文章编号: 0258-3283(2010)07-0629-05

脂肪酸(FA)广泛分布于自然界中, 是生物体内重要的营养物质和代谢产物, 对调节生物体内各项生理和生物功能起着重要作用。由于这类化合物在紫外-可见光区吸收较弱, 光度法难以准确测定^[1], 通过化学衍生、采用高效液相色谱紫外或荧光检测可实现脂肪酸的高灵敏测定^[2]。芘及其衍生物具有优异的荧光性质, 已报道含芘的羧酸荧光标记试剂有芘基重氮甲烷^[3]、1-溴乙酰基芘^[4]和1-芘甲醇^[5], 但在实际应用中, 存在稳定性差、操作复杂等缺点。本实验合成了新型荧光标记试剂2-(2-(1-芘基)-苯并咪唑)-乙基对甲苯磺酸酯(PBITS), 以N,N-二甲基甲酰胺(DMF)作溶剂, 以K₂CO₃作催化剂, 在90℃下PBITS可

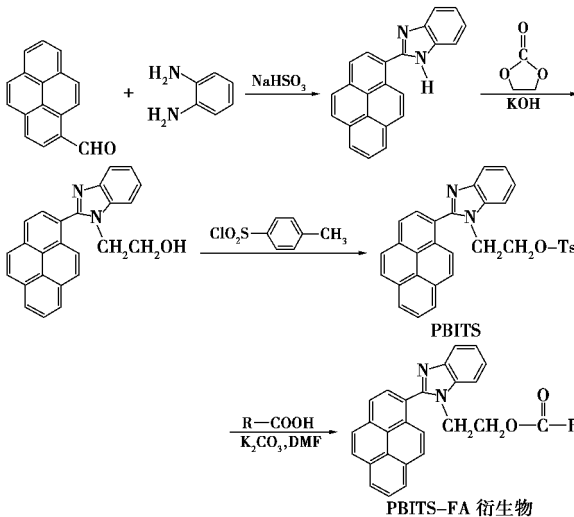
与FA生成稳定的荧光产物, 衍生产率高、操作简便, 衍生液可直接进样分析。在激发和发射波长分别为350和402 nm荧光检测下, 采用梯度洗脱对狼毒根中游离脂肪酸实现了快速、灵敏的测定, 并对实际样品中各衍生组分进行了在线的柱后质谱鉴定, 结果满意。反应路线如左下所示。

1 实验部分

1.1 主要仪器与试剂

1100型高效液相色质联用仪(美国Agilent公司), 配备荧光检测器、大气压化学电离源(APCI); Hypersil BDS-C8色谱柱(4.6 mm×200 mm×5 μm, 大连依利特分析仪器有限公司); Cary300紫外可见分光光度计(美国瓦里安公司); F7000荧光分光光度计(日本日立公司); Unity Inova-600 MHz核磁共振波谱仪(DMSO为溶剂, TMS为内标, 美国瓦里安公司)。

2-(2-(1-芘基)-苯并咪唑)-乙基对甲苯磺酸酯(自制); 20种脂肪酸标准样品(上海试剂厂); 乙腈(ACN, 光谱纯, 德国Merck公司); 瑞香狼毒根(青海); 其他试剂均为分析纯; 水由Milli-Q超纯水系统制备, DMF经减压蒸馏后使用。



PBITS合成和衍生脂肪酸的反应路线图

Derivatization sketch between PBITS and aliphatic acid

收稿日期: 2009-06-29

基金项目: 中国科学院“百人计划”资助项目(328)。

作者简介: 孙志伟(1981-), 男, 山东曲阜人, 博士生, 研究方向为新型荧光衍生试剂的合成及应用。

1.2 标准溶液配制

准确取定量脂肪酸标准品,用光谱纯乙腈配成 10 mmol/L 的溶液(长链脂肪酸需加少量DMF助溶)。称取 258.1 mg 2-(2-(1-芘基)苯并咪唑)乙基对甲苯磺酸酯,用DMF定容至 10 mL ,浓度为 50 mmol/L 。相应低浓度的衍生试剂($5.0 \times 10^{-3}\text{ mol/L}$)及低浓度脂肪酸($1.0 \times 10^{-4}\text{ mol/L}$)的标准液分别用DMF和光谱纯乙腈稀释而成。

1.3 标准品衍生化

向盛有 10 mg 无水 K_2CO_3 催化剂的 2 mL 安瓿瓶中依次加入 $115\text{ }\mu\text{L}$ DMF、 $20\text{ }\mu\text{L}$ (0.1 mmol/L)混合脂肪酸和 $65\text{ }\mu\text{L}$ ($5.0 \times 10^{-3}\text{ mol/L}$)衍生试剂溶液,封口后于 $90\text{ }^\circ\text{C}$ 恒温水浴下振荡反应 40 min ,取出放冷后,加入 $200\text{ }\mu\text{L}$ ACN/DMF混和液, $V(\text{ACN}):V(\text{DMF})=1:1$,稀释后直接进样 $10\text{ }\mu\text{L}$ (50 pmol)分析。

1.4 色谱与质谱条件

Hypersil BDS-C8色谱柱($4.6\text{ mm} \times 200\text{ mm} \times 5\text{ }\mu\text{m}$)。流动相A:20%乙腈水溶液(含有 5.0 mmol/L 的 HCOONH_4 , $\text{pH }3.5$);B:80%的乙腈;C:10%的DMF乙腈溶液。流速为 $1.0\text{ mL}/\text{min}$,柱温 $30\text{ }^\circ\text{C}$ 。荧光激发和发射波长分别为: 350 和 402 nm 。梯度条件: $0\sim 15\text{ min}$ 由40%A+60%B梯度到100%; $15\sim 30\text{ min}$ 由100%B梯度到100%C,并保持 15 min 。

大气压化学电离源(APCI),正离子模式,喷雾压力 0.414 MPa 干燥气流量为 $5\text{ L}/\text{min}$,干燥气温度 $350\text{ }^\circ\text{C}$,气化温度 $450\text{ }^\circ\text{C}$,毛细管电压 $3\,500\text{ V}$,电晕电流 $4\,000\text{ nA}$ 。

1.5 狼毒根中游离脂肪酸的提取

将干燥狼毒根研细后,称取 3.0 g 于 25 mL 容量瓶中,用 10 mL 氯仿浸泡,超声振荡 30 min ,过滤,取滤液 5 mL 加 1.6 mL 吡啶超声振荡 30 s ,使游离脂肪酸转变为相应的有机盐, N_2 吹干后用 2.5 mL DMF溶解备用。

2 结果与讨论

2.1 2-(2-(1-芘基)-苯并咪唑)乙基对甲苯磺酸酯(PBITS)的合成

2.1.1 合成2-(1-芘基)苯并咪唑(PBI)

在配置机械搅拌,回流冷凝管,恒压滴液漏斗的 500 mL 三颈烧瓶中加入 4.5 g 邻苯二胺和 50 mL 无水乙醇,加热至回流,并在回流状态下将

5.2 g 亚硫酸氢钠分次投入并缓慢滴加 5.0 g 甲醛的 200 mL 乙醇溶液。滴加完毕后回流反应 3 h 。将反应液倒入水中,剧烈搅拌,析出大量黄色沉淀。抽滤,水洗,晾干。产品用乙醇/ N,N -二甲基甲酰胺DMF($V:V=5:1$)重结晶,得 6.5 g 黄色颗粒状晶体,产率94.0%。 ^1H NMR(600 MHz , $\text{DMSO}-d_6$), δ 13.19(s,1H,N—H); $7.3\sim 8.6$ (m,13H,Ar—H)。APCI-MS(正离子模式), m/z 318.6。元素分析, $\text{C}_{23}\text{H}_{14}\text{N}_2$,实测值(计算值),%:C 86.79(86.77);H 4.43(4.43);N 8.78(8.80)。

2.1.2 合成2-(2-(1-芘基)苯并咪唑)乙醇(PBE-OH)

在 250 mL 三颈烧瓶中加入 6.18 g 2-(1-芘基)苯并咪唑、 2.9 g 碳酸亚乙酯、痕量KOH和 80 mL DMF,迅速加热回流 2.5 h ,冷却,倒入 800 mL 水中,抽滤,水洗,晾干。产品在乙腈/DMF($V:V=2:1$)中重结晶,得 7.72 g 深黄色颗粒状晶体,产率80.6%。m.p. $241.5\sim 242.2\text{ }^\circ\text{C}$ 。 ^1H NMR(600 MHz , $\text{DMSO}-d_6$), δ 7.32~8.47(m,13H,Ar—H);4.78(t,2H, $J=6\text{ Hz}$, NCH_2);4.18(t,2H, $J=6\text{ Hz}$, CH_2O);3.50(t,1H, $J=6\text{ Hz}$,O—H)。APCI-MS(正离子模式), m/z 362.5。MSMS, m/z 318.7。元素分析, $\text{C}_{25}\text{H}_{18}\text{N}_2\text{O}$,实测值(计算值),%:C 82.84(82.85);H 5.02(5.01);N 7.71(7.73)。

2.1.3 合成2-(2-(1-芘基)-苯并咪唑)乙基对甲苯磺酸酯(PBITS)

在 100 mL 圆底烧瓶中加入 2.6 g 2-(2-(1-芘基)苯并咪唑)-乙醇和 60 mL 吡啶,电磁搅拌,冰浴控温, 0.5 h 内分次加入 5.0 g 对甲苯磺酰氯,搅拌反应一夜(约 12 h)。倒入水中,水洗3次,晾干,乙腈/DMF重结晶,得产品重 3.4 g 产率91%。m.p. $\geq 210\text{ }^\circ\text{C}$ (分解)。 ^1H NMR(600 MHz , $\text{DMSO}-d_6$), δ 6.98~8.45(m,17H,Ar—H);4.40(t,2H, $J=4.8\text{ Hz}$, NCH_2);4.08(t,2H, $J=5.4\text{ Hz}$, CH_2O);2.22(s,3H, CH_3)。APCI-MS(正离子模式), m/z 516.5。MSMS, m/z 318.6。元素分析, $\text{C}_{32}\text{H}_{24}\text{N}_2\text{SO}_3$,实测值(计算值),%:C 70.42(74.40);H 4.67(4.68);N 5.40(5.42)。IR(KBr), ν cm $^{-1}$:3 043.30(Ar—H);2 984.30(R—H);1 598.97,1 527.05,1 482.94,1 455.23(Ph);1 358.28(—C—SO₂—);1 189.75,1 176.12(Ph—S—)。

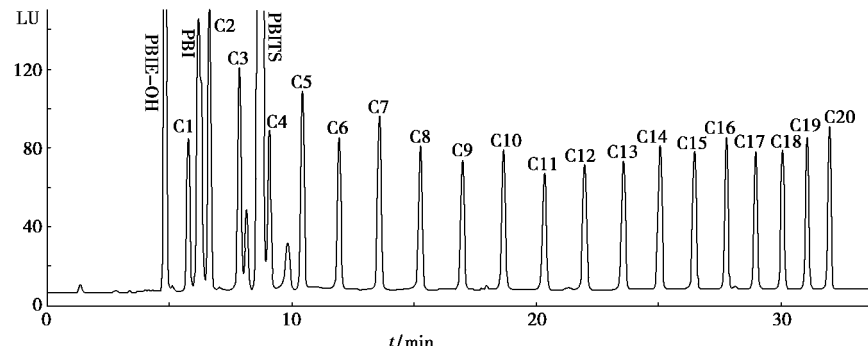
2.2 2-(2-(1-芘基)-苯并咪唑)-乙基对甲苯磺酸酯的稳定性与光谱性质

2-(2-(1-芘基)-苯并咪唑)-乙基对甲苯磺酸酯是由 2-(2-(1-芘基)-苯并咪唑)-乙醇与对甲苯磺酰氯在吡啶溶剂中缩合反应而成, 产物经水洗后在乙腈中重结晶, 获得的产品对常规有机溶剂和水稳定。本试剂的 DMF 溶液, 在密闭条件下, 在 4 ℃下保存 0.5 年, 经高效液相色谱荧光检测, 未发现纯度变化, 对脂肪酸的衍生产率未见明显改变。在室温下, 用甲醇、乙腈、乙醇和四氢呋喃 4 种溶剂配制 PBITS 溶液进行光谱性质研究, 该试剂溶液展现出两个紫外吸收带, 分别为 276 和 342 nm, 在 4 种溶剂中的最大紫外吸收带未见明显的红移或蓝移。PBITS 在 4 种溶剂中最大吸收波长处的摩尔吸光系数 (ϵ) 为 3.52×10^4 (甲醇

342 nm)、 3.37×10^4 (乙腈 342 nm)、 3.58×10^4 (乙醇 343 nm) 和 4.31×10^4 (四氢呋喃 344 nm) L \cdot mol $^{-1} \cdot$ cm $^{-1}$ 。荧光光谱的扫描结果表明: PBITS 最大激发和发射波长分别为 350 和 402 nm, 在 4 种溶剂中最大激发和发射波长无明显红移或蓝移。

2.3 衍生条件的优化

PBITS 与脂肪酸的衍生化反应随溶剂的不同, 产率有显著差异。根据文献 [6], 实验中选取 DMF 作溶剂, K₂CO₃ 作碱性催化剂, 对温度、时间和试剂用量等几个影响衍生化产率的因素进行了考察, 结果表明: 衍生化产率随温度升高产率增大, 当温度为 90 ℃时具有最大的检测响应。当衍生时间为 40 min 时, 试剂用量为总摩尔数脂肪酸的 8 倍时, 具有最大的衍生产率。



C1. 甲酸; C2. 乙酸; C3. 丙酸; C4. 正丁酸; C5. 戊酸; C6. 己酸; C7. 庚酸; C8. 辛酸; C9. 壬酸; C10. 癸酸; C11. 十一酸; C12. 十二酸; C13. 十三酸; C14. 十四酸; C15. 十五酸; C16. 十六酸; C17. 十七酸; C18. 十八酸; C19. 十九酸; C20. 二十酸;
PBI 2-(1-芘基)-苯并咪唑; PBI-E-OH: 2-(2-(1-芘基)-苯并咪唑)-乙醇; PBITS: 2-(2-(1-芘基)-苯并咪唑)-乙基对甲苯磺酸酯

图 1 标准脂肪酸衍生物的色谱分离图(色谱条件见实验部分)

Fig 1 Chromatogram of fatty acid derivatives

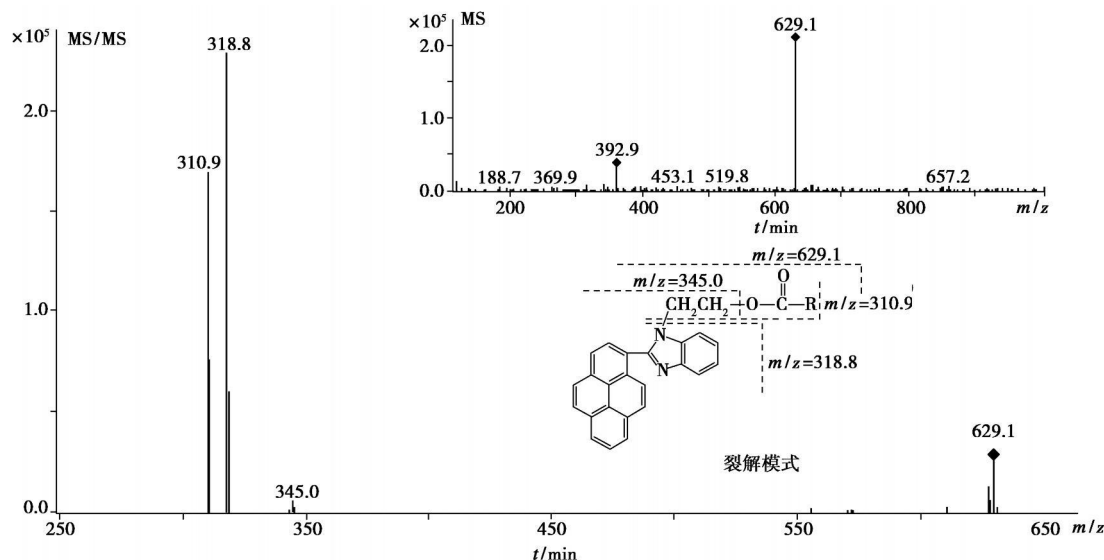


图 2 十八碳酸衍生物一级和二级质谱图和裂解模式

Fig 2 MS and MS/MS data of PBITS-octadecanoic acid derivative

2.4 标准品的色谱分离及质谱鉴定

在 Hypersil BDS-C8 色谱柱 ($4.6\text{ mm} \times 200\text{ mm} \times 5\text{ }\mu\text{m}$) 色谱柱上, 采用梯度洗脱在 32 min 内即可实现 20 种直链脂肪酸衍生物 (C1~C20) 的基线分离, 对 20 种标准脂肪酸衍生物的色谱分离见图 1。主要杂质组分为试剂分解后的 2-(1-芘基) 苯并咪唑 (PBI, m/z 318.5) 与 2-(2-(1-芘基) 苯并咪唑)-乙醇 (PBE-OH, m/z 362.5)。采用大气压化学电离源进行在线的柱后质谱鉴定, 各衍生物显示出强烈的分子离子峰和相应的特征碎片离子峰。以十八酸衍生物为例的质谱裂解模式和质谱见图 2。十八酸衍生物的一级质谱准分子离子峰为 m/z 629.1 [$\text{M} + \text{H}$]⁺。二级质谱的显示 3 个碎片离子峰, 分别归属如下: m/z 318.7 归属于 PBI 母核, m/z 345.0 归属于 $\text{CH}_2\text{CH}_2-\text{OCOR}$ 键断裂所得的 [PBI+ CH_2CH_2]⁺ 碎片离子; m/z 310.9 归属于衍生物失掉 PBI 母核后的碳链部分 [$\text{MH} - \text{PBI}$]⁺。

2.5 线性回归方程、检出限及重现性

表 1 脂肪酸衍生物的线性回归方程、相关系数、检出限及保留时间和峰面积的重现性

Tah 1 Linear regression equations, correlation coefficients detection limit its and repeatability for peak area and retention time ($n = 6$)

脂肪酸衍生物	回归方程 ^注	相关系数	检出限/ fmol	保留时间/ min	峰面积相对标准偏差/%	峰面积相对标准偏差/%
C1	$Y = 96.4X + 3.1$	0.999 35	20.4	0.071	0.27	
C2	$Y = 129.4X + 2.7$	0.999 30	11.4	0.059	0.24	
C3	$Y = 102.0X + 118.5$	0.999 72	13.9	0.042	0.23	
C4	$Y = 75.8X + 68.9$	0.999 34	19.4	0.057	0.59	
C5	$Y = 93.8X + 49.4$	0.999 93	14.6	0.043	0.41	
C6	$Y = 76.5X + 1.3$	0.999 97	21.0	0.037	0.43	
C7	$Y = 86.4X + 2.9$	0.999 90	21.0	0.035	0.39	
C8	$Y = 73.9X - 4.0$	0.999 94	24.9	0.033	0.45	
C9	$Y = 66.7X - 8.6$	0.999 87	25.6	0.020	0.38	
C10	$Y = 70.9X - 4.3$	0.999 96	22.8	0.022	0.35	
C11	$Y = 60.0X - 4.5$	0.999 92	24.8	0.028	0.42	
C12	$Y = 64.0X - 3.3$	0.999 96	29.3	0.023	0.39	
C13	$Y = 65.1X - 3.3$	0.999 96	25.6	0.019	0.41	
C14	$Y = 70.8X - 5.6$	0.999 95	23.4	0.026	0.35	
C15	$Y = 66.5X - 6.1$	0.999 93	22.8	0.032	0.43	
C16	$Y = 70.6X - 5.7$	0.999 94	23.4	0.032	0.48	
C17	$Y = 61.5X - 4.5$	0.999 94	24.9	0.037	0.39	
C18	$Y = 59.8X - 4.8$	0.999 92	28.3	0.043	0.36	
C19	$Y = 62.7X - 4.7$	0.999 93	21.0	0.042	0.26	
C20	$Y = 65.7X - 4.4$	0.999 94	20.1	0.044	0.33	

注: X: 进样量; Y: 峰面积。

进样量在 $50\text{ pmol} \sim 48.8\text{ fmol}$ 范围内 (浓度范围在 $4.88\text{ nmol/L} \sim 5.0\text{ }\mu\text{mol/L}$), 依据峰面积和实际进样量进行线性回归, 所得各脂肪酸衍生物的回归方程、相关系数和检出限见表 1。各脂肪酸衍生物的线性相关系数均大于 0.999, 检出限在 $11.4 \sim 29.3\text{ fmol}$ 之间 ($S/N = 3:1$)。在相同洗脱条件下, 对 50 pmol 脂肪酸衍生物平行 6 次测定, 保留时间和峰面积重现性一并列于表 1, 保留时间的相对标准偏差小于 0.07% , 峰面积的相对标准偏差 $< 0.59\%$ 。

2.6 实际样品测定

按前述实验条件, 狼毒根中脂肪酸衍生物的色谱分离见图 3, 测定结果见表 2。对狼毒根中游离饱和脂肪酸的测定结果表明: 含有偶数碳原子的高碳链饱和脂肪酸如 C16, C18, C20, C22 等的含量相对较高, 在所测定的饱和脂肪酸中十六碳酸含量最高。另外, 质谱鉴定表明狼毒根中还含有碳十八一烯酸 (C18:1, m/z 627.0), 碳十八二烯酸 (C18:2, m/z 625.1), 碳十八三烯酸 (C18:3, m/z 623.1), 碳二十一烯酸 (C20:1, m/z 655.1), 碳二十二一烯酸 (C22:1, m/z 683.0) 等不饱和脂肪酸, 且不饱和脂肪酸含量总量远高于饱和脂肪酸总量。对所有脂肪酸衍生物做面积归一化, 不饱和脂肪酸碳十八一烯酸、碳十八二烯酸和碳十八三烯酸含量分别为 17.6% 、 43.2% 和 11.5% (含量前 3 位的饱和脂肪酸: 十六碳酸占 15.2% , 十八碳酸占 2.5% , 二十碳酸占 1.3%)。

表 2 实际样品中游离饱和脂肪酸的测定结果^注

Tah 2 Results of saturated free fatty acids from real sample ($n = 3$)

脂肪酸	各脂肪酸成分含量 / ($\mu\text{g g}^{-1}$)		脂肪酸	各脂肪酸成分含量 / ($\mu\text{g g}^{-1}$)	
	C1	#	C11	1.726	
C2	#		C12	3.87	
C3	#		C13	4.24	
C4	#		C14	25.04	
C5	28.41		C15	45.47	
C6	10.93		C16	1203.49	
C7	12.80		C17	33.11	
C8	6.17		C18	175.87	
C9	16.21		C19	8.67	
C10	16.22		C20	58.18	

注: #: 由于干扰, 未准确定量; C1~C20 均可用 MS 检出。

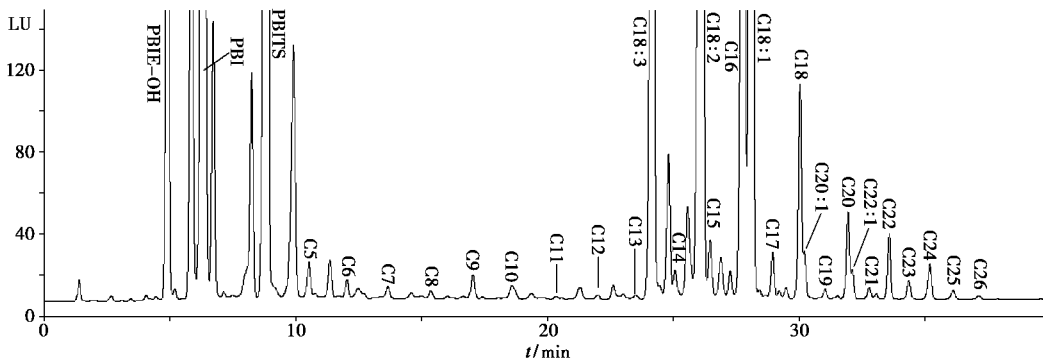


图3 狼毒根中游离脂肪酸的色谱分离图(其他条件同图1)

Fig 3 Chromatogram of free fatty acid from *Stellera chamaejasme L*

3 结论

与已报道的含芘基荧光团的羧酸标记试剂相比,新型试剂PBITS性质稳定,对各脂肪酸的标记具有灵敏、操作简单和衍生率高等特性。芘基重氮甲烷稳定性差,使用前常常需要纯化处理或现用现制。1-芘甲醇以羟基为反应活性基团,衍生反应需要活化试剂或缩合剂的参与。1溴乙酰基芘对脂肪酸类化合物的衍生过程需在KOH、冠醚相转移催化剂的存在下于苯或甲苯溶剂中完成,分离前需预处理,费时费力。新型试剂PBITS与脂肪酸的衍生反应以N,N-二甲基甲酰胺为溶剂,以K₂CO₃作催化剂在90℃下可获得稳定的荧光产物。衍生率高,操作简便,衍生液可直接进样分析。另外,PBITS母体结构中氮原子易于接受质子,使得PBITS-FA衍生物表现出很强的大气压电离质谱信号,能够实现灵敏的质谱鉴定。本实验采用2-(2-(1-芘基)-苯并咪唑)-乙基对甲苯磺酸酯作为柱前衍生试剂,建立了灵敏、快速测定20种脂肪酸的方法,同时实现了在线的质谱鉴定。将方法应用于狼毒根中游离脂肪酸的测定,结果满意。

参考文献:

- [1] NGALLS S T, MINKLER P E, HOPPEL C L, et al Derivatization of carboxylic acids by reaction with 4'-bromophenacyl trifluoromethanesulfonate prior to determination by high-performance liquid chromatography [J]. *J. Chromatogr.*, 1984, **299**: 365-376
- [2] TOYO'OKA T. Fluorescent tagging of physiologically important carboxylic acids, including fatty acids, for their detection in liquid chromatography [J]. *Anal. Chim. Acta*, 2002, **465**(1/2): 111-130
- [3] NMURA N, KINOSHITA T, YOSHIDA T, et al 1-Pyrenyliazomethane as a fluorescent labeling reagent for liq-

u id chromatographic determination of carboxylic acids [J]. *J. Anal. Chem.*, 1988, **60**(19): 2067-2070

- [4] KWAKMAN P J M, VAN SCHAIK H P, BRINKMAN U A T, et al N-(Bromoacetyl)-N'-(5-(dimethylamino)naphthalene-1-sulphonyl)piperazine as a sensitive labeling reagent for the determination of carboxylic acids by liquid chromatography with peroxysulfate chemiluminescence and fluorescence detection [J]. *Analyst*, 1991, **116**: 1385-1391
- [5] JONES O T, LEE A G. Interactions of pyrene derivatives with lipid bilayers and with(Ca²⁺-Mg²⁺)-ATPase [J]. *Biochemistry*, 1985, **24**(9): 2195-2202
- [6] 赵先恩, 李玉林, 索有瑞, 等. 高效液相色谱荧光测定及质谱鉴定土壤和苔藓中的脂肪酸 [J]. 分析化学, 2006, **34**(2): 150-154

Synthesis of 2-(2-(pyren-1-yl)-1H-benzo[d]imidazo[1-yl]ethyl)-4-methylbenzenesulfonate and its application in HPLC analysis of fatty acid as a novel fluorescent labeling reagent SUN Zhizhu^{1,3}, LIU Qinze², FU Yan-yan², XIA Lan^{1,2,3}, ZHAO Xian'en⁴, SUO You-rui¹, YOU Jin-mao^{1,2} (1. Northwest Plateau Institute of Biology, Chinese Academy of Sciences, Xining 810001, China; 2. College of Chemistry Science, Qufu Normal University, Qufu 273165, China; 3. Graduate School of Chinese Academy of Sciences, Beijing 100039, China; 4. Analysis and Test Center, Shandong Academy of Sciences, Jinan 250014, China), Huaxue Shiji 2010, **32**(7), 629~633, 667

Abstract Twenty fatty acids were derivatized using 2-(2-(pyren-1-yl)-1H-benzo[d]imidazo[1-yl]ethyl)-4-methylbenzenesulfonate(PBITS) as novel pre-column derivatization reagent and were separated by HPLC in conjunction with fluorescence detection and MS identification. With the addition of 8-fold molar reagent in excess to total molar concentration of

(下转第667页)

- [2] KAM ID T, YAMAMOTO R, HARADA H, et al An improved and convenient procedure for the synthesis of 1-substituted imidazoles [J]. *Chem. Pharm. Bull.*, 1983, **31**(4): 1213-1221.
- [3] 王磊, 孙兴华. 用 KOH/A₂O₃ 合成 N-烷基咪唑 [J]. 应用化学, 1993, **10**(4): 84-85.
- [4] 郑志兵, 谢云德, 李松. 2-(1-咪唑基)乙酸的新法合成 [J]. 中国医药工业杂志, 2003, **34**(10): 494.
- [5] 陈宝泉, 李彩文, 雷英杰, 等. 2-(1-咪唑基)乙酸的合成工艺改进 [J]. 精细石油化工, 2007, **24**(2): 16-17.
- [6] ZADERENKO P, GILLM S, BALLESTEROS P, et al Synthesis and regioselective hydrolysis of 2-(imidazol-1-yl) succinic esters [J]. *J. Org. Chem.*, 1994, **59**(21): 6268-6273.
- [7] SKUMAR S, MANNE N, RAY P C, et al Synthesis of imidazol-1-yl acetic acid hydrochloride: a key intermediate for zoledronic acid [J]. *Bailestein J. Org. Chem.*, 2008, **4**

(42): 1-4

- [8] 张志广, 夏然, 渠桂荣. 氯乙酸酯的绿色合成 [J]. 河南师范大学学报: 自然科学版, 2007, **35**(4): 92-94.

Green synthesis of alkyl imidazole-1-ylacetates under microwave irradiation in water XU Shao-hong*, YAO Peng (College of Chemistry and Chemical Engineering Xinxiang University Xinxiang 453003 China), Huaxue Shijji 2010, **32**(7), 665~667

Abstract An efficient method for the synthesis of alkyl imidazole-1-ylacetates from imidazol and chloroacetate in water under microwave irradiation was developed. Using KOH as the base and water as the solvent makes this method eco-friendly and easy to handle with. The product was characterized by ¹H NMR and ¹³C NMR.

Key words water; zoledronic acid; microwave; green synthesis

(上接第 633 页)

fatty acids, PBTS reacted with fatty acids in the presence of K₂CO₃ catalyst at 90 °C for 40 min in *N,N*-dimethylformamide solvent to give a maximum and constant fluorescence intensity. The fluorescence excitation and emission wavelengths of derivatives were at λ_{ex} 350 nm and λ_{em} 402 nm, respectively. The identification of fatty acid derivatives was performed by an online atmospheric pressure chemical ionization mass spectrometry (APCI/MS) in positive mode

All linear correlation coefficients for fatty acid derivatives were > 0.9993, and detection limits (at signal-to-noise of 3:1) were 11.4~29.3 fmol for labeled fatty acids. The established method is sensitive and repeatable and has been applied to the determination of free fatty acids from *Stellera chamaejasme L.* samples with satisfactory results.

Key words high performance liquid chromatography-mass spectrometry; fluorescence detection; pre-column derivatization; fatty acids

(上接第 664 页)

Synthesis of a key intermediate of β-lactam of sanfetrinem LU Jia-qing¹, OU Wen-hua², MAO Hai-fang², PAN Xian-hua^{2*} (1. College of Science and Technology, Shanghai Ocean University, Shanghai 200187, China; 2. School of Perfume and Aroma Technology, Shanghai Institute of Technology, Shanghai 200235, China), Huaxue Shijji 2010, **32**(7), 661~664, 667

Abstract The key intermediate 1, used for the preparation of a new classical β-lactam of sanfetrinem cilextil was obtained via eight steps starting from S-2-methoxy cyclohexanone. Thereby the synthetic process, which featured high yield and low production cost was improved.

Key words β-lactam; sanfetrinem cilextil; asymmetric synthesis

欢迎订阅《化学试剂》月刊, 欢迎登陆 www.chinareagent.com.cn